

УДК 681.325

## ИССЛЕДОВАНИЕ ТОЧНОСТИ ПРЕДСТАВЛЕНИЯ ИНФОРМАЦИИ В РЕКУРРЕНТНОМ УПРАВЛЯЕМОМ ВЕРОЯТНОСТНОМ ПРЕОБРАЗОВАТЕЛЕ

УСАМА САЛИМ АЛЬ-СИД, Э.А. БАКАНОВИЧ, Т.М. КРИВОНОСОВА

*Белорусский государственный университет информатики и радиоэлектроники  
П. Бровка, 6, Минск, 220013, Беларусь*

*Поступила в редакцию 23 февраля 2007*

Показана возможность использования математической модели программно-управляемого вероятностного преобразователя рекуррентного типа для получения оценки точности его работы. Исследованы различные виды погрешностей: краевая погрешность, максимальная относительная погрешность аппроксимации, погрешность, возникающая при замене функции стягивающей ее хордой для различных видов функций.

*Ключевые слова:* функция распределения, вероятностный преобразователь, краевая погрешность, интервальная погрешность.

Математические модели, рассмотренные в [1–3], устанавливают аналитические зависимости между воспроизводимыми функциями распределения случайных величин и основными параметрами рекуррентных УВП — числом разрядов  $n$  циклического регистра сдвига (числом состояний эквивалентного автомата), длительностью шага квантования по времени  $\Delta t$  для определенного класса аппроксимирующих функций  $G(t)$ , или  $P_{\geq 1}(\Delta t)_k$ , множеством значений интенсивностей  $\lambda_k$ ,  $k = \overline{1, n}$ , первичных случайных потоков сигналов с учетом допустимых величин методических погрешностей преобразований. Эти зависимости определяют инженерную методику выбора таких параметров рекуррентного УВП, которые обеспечат заданную точность воспроизведения функции  $F(t)$  для финальных значений вероятностей.

Связь между оригиналом  $F(t)$  и изображением  $\theta(t)$  воспроизводимой функции распределения определяется формулой

$$\frac{d\theta(t)}{dt} = \int_0^t \frac{F'(\tau)}{1 - F(\tau)} d\tau = \frac{F(t)}{1 - F(t)},$$

а приращения изображения и оригинала связаны так:

$$\Delta\theta(t) \approx \frac{d\theta(t)}{dF(t)} \Delta F(t) \tag{1}$$

Поскольку

$$\frac{d\theta(t)}{dF(t)} = \frac{d\theta(t)}{dt} \frac{dt}{dF(t)}. \tag{2}$$

и

$$\frac{d\theta(t)}{dt} = \int_0^t \frac{F'(\tau)}{1-F(\tau)} d\tau = \frac{F(t)}{1-F(t)}, \quad (3)$$

$$\frac{dt}{dF(t)} = \frac{1}{F(t)}, \quad (4)$$

то

$$\Delta\theta(t) = \Delta F(t) / [1 - F(t)]. \quad (5)$$

Учитывая, что функция  $F(t)$  монотонно возрастает с ростом значений аргумента  $t$  и множитель при  $\Delta F(t)$  в (5) изменяется в пределах от единицы до бесконечности при изменении времени  $t$  в пределах от нуля до бесконечности, можно сделать вывод, что неравенство

$$\Delta\theta(t) = \Delta F(t) \quad (6)$$

усиливается при увеличении  $t$ , например, при  $F(t)=0,9 \Delta\theta(t)=10\Delta F(t)$ .

Так как в рассматриваемом УВП задаются изображения воспроизводимых функций распределения, то соотношение (5) и неравенство (6) означают, что при установке требуемых вероятностей  $r_k, k=\overline{1, n}$ , появления сигналов на выходах управляемых вероятностных конъюнкторов  $\&_k (k=\overline{1, n})$  УВП допустимы большие значения ошибок, чем погрешности, которые могут быть допущены в функции распределения случайных временных интервалов формируемого потока случайных событий. Поскольку связь между приращениями изображения и оригинала известна, все рассуждения можно вести относительно изображения  $\theta(t)$  воспроизводимой функции.

Рассмотрим другие методические погрешности, характерные для исследуемого УВП.

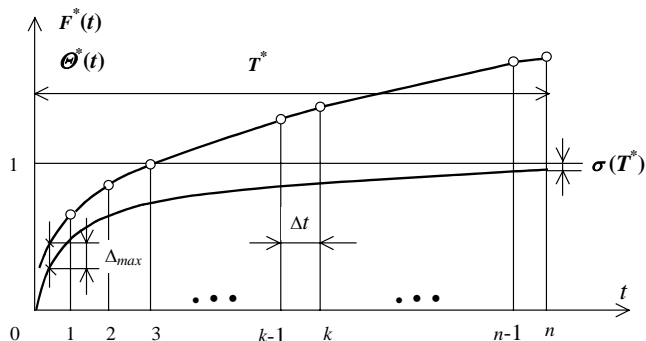


Рис. 1. Иллюстрация к определению краевой погрешности рекуррентного УВП

Ограниченность временного детерминированного интервала  $T$ , внутри которого в соответствии с  $F(t)$  распределены формируемые случайные временные интервалы, не позволяет воспроизводить значения функции  $F(t)$ , соответствующие значениям времени  $t > T$ . Вследствие этого появляется погрешность, которая на рис. 1 обозначена символом  $\sigma(T)$ . Назовем эту погрешность краевой. Конечная длительность шага квантования по времени  $\Delta t$  не позволяет точно воспроизвести изображение заданной функции, поскольку внутри каждого

интервала квантования участок изображения аппроксимируется функцией  $P_{\geq 1}(\Delta t)_k, k=\overline{1, n}$ . В частном случае это может быть функция распределения интервалов между соседними сигналами в соответствующем потоке  $\varphi_k(z)$ . Важно отметить, что при задании требуемых функций распределения  $F(t)$  интенсивности потоков  $\varphi_k(z)$  устанавливаются такими, что

$$\Delta P_{\geq 1}(\Delta t)_k = \theta(k\Delta t) - [(k-1)\Delta t], \quad (7)$$

т.е. в начальных и конечных точках интервалов квантования (рис. 2,а) значения этих функций совпадают. Таким образом, появляется погрешность внутри каждого из интервалов квантования, которая на рис. 2,а обозначена символом  $\delta_k(\tau)$ .

Задача выбора параметров рекуррентного УВП сводится к тому, чтобы по заданным величинам методических погрешностей — относительной краевой погрешности  $\sigma(T)$  и

максимально допустимой погрешности аппроксимации  $\delta_k(\tau)$  — выбрать такие параметры преобразователя  $n$ ,  $\Delta t$ ,  $\lambda_k$ ,  $k=1, n$ , чтобы ошибки при воспроизведении известного множества функций  $F(t)$  не превышали предельно допустимых значений. Краевая погрешность записывается в виде

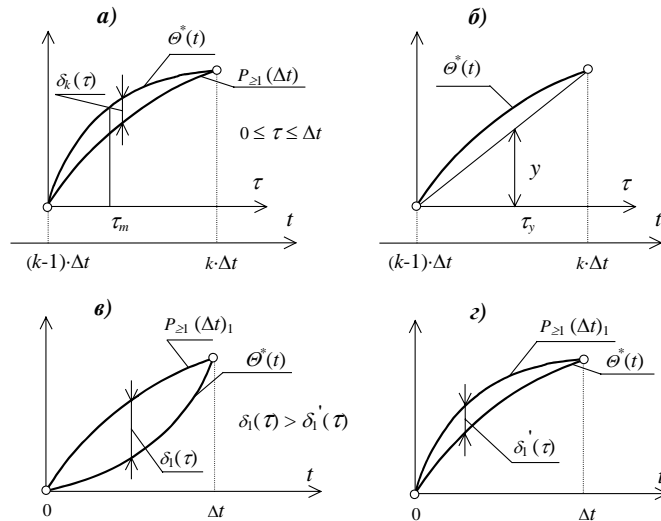


Рис. 2. Величина интервальной погрешности: *a* — в общем случае; *б* — при замене функции стягивающей ее хордой; *в* — для вогнутых функций; *з* — для выпуклых функций

$$\sigma(T) = 1 - F(T), \quad (8)$$

а максимально возможное значение временного интервала, формируемого базовой структурой рекуррентного УВП, равно  $T = n\Delta t$ . Очевидно также, что

$$\theta(k\Delta t) - \theta[(k-1)\Delta t] = 1 - e^{-\lambda k \Delta t}. \quad (9)$$

Пусть внутри  $k$ -го интервала квантования максимальная относительная погрешность аппроксимации  $\delta_{\max}(\Delta t)_k$  соответствует некоторому значению  $\tau_m$  ( $0 < \tau_m < \Delta t$ ) (рис. 2, *a*). Тогда

$$\delta_{\max}(\Delta t)_k = \left( \theta(\tau_m)_k - \theta[(k-1)\Delta t] - \Delta P_{\geq 1}(\tau_m)_k \right) / \theta(t_m), \quad (10)$$

где  $\theta(\tau_m)_k$  — значение изображения воспроизводимой функции, соответствующее точке  $\tau_m$   $k$ -го интервала квантования. Соотношения (9), (10) и

$$T = n\Delta t \quad (11)$$

не дают однозначного решения для нахождения параметров  $n$ ,  $\Delta t$ ,  $\lambda_k$ ,  $k=1, n$ , так как число неизвестных в этих выражениях превышает число уравнений: кроме параметров преобразователя неизвестными также являются значения изображения  $\theta(t)$  в точках  $k\Delta t$  и  $(k-1)\Delta t$  и значение аппроксимирующей функции  $P_{\geq 1}(\Delta t)_k$  в точке  $\tau_m$ . Поэтому можно задаться одним из параметров рассматриваемого УВП.

Предположим, например, что предварительно выбрано число разрядов  $n$  циклического регистра сдвигов. Если известен масштаб времени — максимально возможная длительность временного интервала в формируемом случайном выходном потоке — то из (11) находится длительность шага квантования по времени воспроизводимой функции  $F(t)$ . Это, в свою очередь, позволяет найти значения изображения  $\theta(t)$  в точках квантования по времени  $k\Delta t$  и  $(k-1)\Delta t$ . В этом случае равенство (10) может быть использовано как контрольное; внутри каждого интервала  $[(k-1)\Delta t; k\Delta t]$  значение времени  $\tau_m$ , соответствующее максимальной ошибке аппроксимации, определяется из условия

$$\left\{ \delta_{\max}(\Delta t)_k \theta(\tau_m)_k - \theta[(k-1)\Delta t] + \Delta P_{\geq 1}(\tau_m)_k \right\} = 0. \quad (12)$$

Таким образом, при заданном числе разрядов  $n$  для проверки возможности воспроизведения функции  $F(t)$  с заданной степенью точности необходимо проверить  $n$  равенств (10); это, естественно, связано с трудностями вычислительного характера. Поэтому проведем некоторые упрощения: заменим в каждом интервале квантования участок аппроксимирующей функции  $P_{\geq 1}(\Delta t)$  стягивающей его хордой и оценим вносимую при этом погрешность  $b_{\max}(\Delta t)$  — рис. 2,б. Уравнение хорды имеет вид

$$y = \frac{1 - e^{-\lambda_k \Delta t}}{\Delta t} \tau_k; \quad 0 \leq \tau_k \leq \Delta t, \quad (13)$$

поэтому

$$b(\Delta t)_k = (1 - e^{-\lambda_k \Delta t}) - \tau_k (1 - e^{-\lambda_k \Delta t}) / \Delta t. \quad (14)$$

Дифференцируя это выражение и приравнявая производную нулю, находим

$$\ln \frac{\lambda_k \Delta t}{1 - e^{-\lambda_k \Delta t}} = \lambda \tau_k, \quad (15)$$

откуда для  $k$ -го интервала

$$\tau_m = \frac{1}{\lambda_k} \ln \frac{\lambda_k \Delta t}{1 - e^{-\lambda_k \Delta t}}. \quad (16)$$

Последнее выражение позволяет определить максимальное значение погрешности  $b_{\max}(\Delta t)_k$ .

Оценим значение  $\tau_m$ , соответствующее погрешности  $b_{\max}(\Delta t)_k$ . Разложив в ряд  $e^{-\lambda_k \Delta t}$  в (16) и учитывая, что при малых  $x$   $\ln(1+x) \approx x$ , после ряда преобразований для малых значений  $\lambda \Delta t$  получаем

$$\tau_m \approx \Delta t / 2. \quad (17)$$

Подставляя найденное значение  $\tau_m$  в (14) и вновь разлагая в ряд  $e^{-\lambda_k \Delta t}$ , находим

$$b_{\max}(\Delta t)_k = 1 - e^{-\lambda \Delta t / 2} - 1/2(1 - e^{-\lambda_k \Delta t}) \approx \lambda (\Delta t)^2 / 4. \quad (18)$$

В этом случае величина максимальной относительной погрешности

$$\frac{b_{\max}(\Delta t)_k}{\Delta P_{\geq 1}(\tau_m)} = \frac{2\lambda \Delta t}{4 - \lambda \Delta t} \leq 0,05 \quad (19)$$

при  $\lambda_k \Delta t < 0,1$ . Поэтому замена внутри каждого интервала квантования  $\Delta t$  аппроксимирующей функции  $P_{\geq 1}(\Delta t)$  стягивающей ее хордой вполне допустима. Кроме этого, учитывая (4) и монотонный рост значений оригинала  $F(t)$  и изображения  $\theta(t)$  с ростом  $t$ , можно сделать вывод о том, что одна и та же величина погрешности  $b_{\max}(\Delta t)_k$  с увеличением номера интервала квантования будет приводить ко все более малым погрешностям в воспроизводимой функции распределения.

Незначительная величина погрешности, вызываемой заменой участка изображения стягивающей его хордой, позволяет использовать простой графический метод выбора числа разрядов  $n$  ЦРС. Выбрав некоторое число разрядов  $n_1$  ЦРС, по (7) определяем длительность шага квантования по времени  $\Delta t$ . Изображение воспроизводимой функции разбивается на  $n_1$  интервалов длительностью  $\Delta t$  каждый, а соседние точки квантования  $\theta(k\Delta t)$ ,  $k=0, n_1$ , стягиваются хордами. Графически определяются вносимые при этом погрешности  $\Delta k_{\max}$ , соответствующие точкам  $\tau_m$ , а затем находятся относительные погрешности  $\Delta k_{\max} / \theta(\tau_m)_k$ . Если для всех интервалов квантования выполняется условие

$$\Delta k_{\max} / \theta(\tau_m)_k \leq \delta_k(\tau), \quad (20)$$

то можно попытаться уменьшить число  $n_1$ . Если условие (20) не выполняется, то выбирается число  $n_2 > n_1$ , и процедура определения погрешности  $\Delta k_{\max}$  повторяется. Определив таким образом число разрядов  $n$  ЦРС, с учетом (9) и (10) находим остальные параметры рекуррентного УВП.

Формулы (9) и (10) можно упростить, если учесть некоторые обстоятельства. Во-первых, на начальном интервале квантования имеет место максимальная относительная погрешность от замены участка изображения  $\theta(t)$  хордой, поскольку одни и те же значения погрешности  $\Delta k_{\max}$  на начальных интервалах квантования вызывают большие относительные погрешности  $\Delta k_{\max} / \theta(\tau_m)_k$ , так как  $\theta(\tau_m)_1 < \theta(\tau_m)_2 < \dots < \theta(\tau_m)_n$ . Во-вторых, некоторые функции распределения на начальных участках имеют вогнутый характер, что, естественно, увеличивает погрешности от замены участков изображения хордами (рис. 2, в, з). В третьих, одни и те же величины погрешностей при задании изображения  $\theta(t)$  в соответствии с (5) приводят к большим ошибкам в воспроизводимых функциях распределения  $F(t)$  именно на начальных участках. Поэтому от системы равенств (9)–(11) можно перейти к соотношениям:

$$\theta(\Delta t) = 1 - e^{-\lambda_1 \Delta t}, \quad (21)$$

$$[\delta_{\text{ломн}}(\tau)]_{\max} = |\theta(\tau_m)_1 - \Delta P_{\geq 1}(\tau_m)_1| / \theta(\tau_m)_1. \quad (22)$$

Дифференцируя (22), можно определить значение времени  $(\tau_m)_1$  для первого интервала квантования. Подставив  $(\tau_m)_1$  в (22), определяем интенсивность  $\lambda_1$  первичного потока  $\phi_1(z)$ , которая обеспечила бы заданную величину относительной погрешности  $\delta_1(\tau)$ . По известной интенсивности  $\lambda_1$  из (21), учитывая (7), определяется длительность шага квантования по времени  $\Delta t$ , а затем из (11) можно найти число  $n$  разрядов ЦРС.

## STUDY OF THE DATA REPRESENTATION ACCURACY IN A RECURRENT CONTROLLABLE PROBABILISTIC CONVERTER

USAMA SALEM AL SAID, E.A. BAKANOVICH, T.M. KRIVONOSOVA

### Abstract

The possibility to apply the mathematical model of a program-driven recurrent converter is demonstrated for the purposes of assessing its performance accuracy. Divergent error types are investigated, such as a boundary error, maximal relative approximation error, an error that emerges if a function is replaced with its subtense, for various functions.

### Литература

1. Баканович Э.А., Аль-Сид Усама Салем, Кривоносова Т.М. Рекуррентные управляемые вероятностные преобразователи (вариант детерминированного квантования). Часть I. Деп. в БелИСА 25.01.2005 г. № Д20052.
2. Баканович Э.А., Аль-Сид Усама Салем, Кривоносова Т.М. Алгоритм имитационного моделирования рекуррентного вероятностного преобразователя. Часть 2. Деп. в БелИСА 07.04.2006 г. № Д00619.
3. Аль-Сид Усама Салем, Баканович Э.А., Кривоносова Т.М. // Докл. БГУИР. 2006. Т. 4, № 4. С. 64.